

DOI: <https://doi.org/10.30898/1684-1719.2022.11.2>

УДК: 621.396:519.876.5

МОДЕЛИРОВАНИЕ ШИРОКОПОЛОСНОЙ ШУМОВОЙ ПОМЕХИ В СИСТЕМАХ АДАПТИВНОЙ ПРОСТРАНСТВЕННОЙ ФИЛЬТРАЦИИ РАДИОСИГНАЛОВ

М.Ю. Лишак

Национальный исследовательский университет «Московский энергетический институт», 111250, г. Москва, ул. Красноказарменная, 14

Статья поступила в редакцию 29 сентября 2022 г.

Аннотация. Для исследования характеристик систем адаптивной пространственной фильтрации радиосигналов используются имитационные модели сигналов и помех. При этом обычно считается, что время распространения волны помехи вдоль антенной системы много меньше времени корреляции помехи, т.е. помеха является узкополосной в пространственно-временном смысле. Если это условие не выполняется, то для корректного определения характеристик системы необходимо использование модели помехи, которая учитывала бы различие комплексных огибающих помехи в антенно-приёмных каналах, обусловленное задержкой из-за разности хода волны. В статье описан алгоритм моделирования широкополосной в пространственно-временном смысле шумовой помехи, основанный на формировании спектра комплексной огибающей помехи с учётом задержек на апертуре антенной системы. Приведён текст функции на языке системы MATLAB, реализующей предложенный алгоритм. Для тестирования модели получены автокорреляционная и взаимно-корреляционная функции помехи, спектр помехи на выходе адаптивного пространственного фильтра, диаграмма направленности

и амплитудно-частотная характеристика. Результаты тестирования подтверждают адекватность разработанной модели.

Ключевые слова: адаптивная пространственная фильтрация, имитационное моделирование, широкополосная шумовая помеха, дискретное преобразование Фурье, антенная решётка.

Автор для переписки: Лишак Михаил Юрьевич, LishakMY@rambler.ru

Введение

Адаптивные системы пространственной фильтрации сигналов, иначе называемые адаптивными антенными решётками, применяются для защиты радиотехнических систем от воздействия внешних помех, которые отличаются от полезного сигнала по направлению прихода [1]. При исследовании характеристик таких систем широко используется имитационное моделирование. При этом обычно считается, что помеха, которая должна быть подавлена адаптивным пространственным фильтром (АПФ), является узкополосной в пространственно-временном смысле. Это означает, что время распространения волны помехи вдоль антенной системы много меньше времени корреляции помехи. В этом случае помеховые колебания в антенно-приёмных каналах имеют характер квазигармонических колебаний и описываются своими комплексными огибающими, которые имеют одинаковую задержку и различаются только фазовым сдвигом [1, 2]. Если помеха не является узкополосной в пространственно-временном смысле, то для её адекватного моделирования необходимо помимо фазового сдвига учитывать также различную задержку комплексной огибающей в антенно-приёмных каналах, обусловленную разностью хода волны. Необходимость в моделировании такой помехи возникает, в частности, при разработке алгоритмов обработки сигналов в широкополосных АПФ [3 - 5], а также при исследовании характеристик угловых пеленгаторов со сверхразрешением в условиях приёма широкополосных колебаний [6, 7].

1. Модель гауссова белого шума

Основой моделирования отсчётов широкополосной шумовой помехи является модель гауссова белого шума в виде последовательности некоррелированных нормально распределённых псевдослучайных чисел. В системе MATLAB такая последовательность формируется с помощью функции **randn**. В последних версиях MATLAB в этой функции используется алгоритм генерации псевдослучайных чисел, разработанный Дж. Марсальей (George Marsaglia) и описанный им совместно с В.В. Тсангом (Wai Wan Tsang) в усовершенствованном виде в статье [8]. Там же приведён текст программы **rnorrexp.c** на языке Си, реализующей этот алгоритм.

Принцип построения данного алгоритма формирования псевдослучайных чисел рассмотрен в книге К. Моулера (Cleve Moler) по вычислительным методам в системе MATLAB [9]. Этот алгоритм характеризуется тем, что имеет большой период повторения $2^{32} - 1 \approx 4,3 \cdot 10^9$ и обеспечивает очень точное соответствие эмпирического распределения вероятностей теоретическому. Математическое ожидание псевдослучайных чисел равно 0, среднеквадратическое отклонение (СКО) $\sigma = 1$. При заданной частоте дискретизации f_d такая последовательность псевдослучайных чисел является моделью белого шума со спектральной плотностью $G_0 = \frac{\sigma^2}{f_d/2} = \frac{2}{f_d}$.

Ниже приведены результаты моделирования последовательности из 10^6 псевдослучайных чисел. На рис. 1 показаны гистограмма и эмпирическая интегральная функция распределения вероятностей, преобразованная по методу «вероятностной бумаги», в соответствии с которым функция нормального распределения вероятностей имеет вид прямой линии. Среднее значение (выборочное математическое ожидание) псевдослучайных чисел равно $3 \cdot 10^{-4}$, выборочное СКО равно 1,001, что близко к теоретическим значениям. Видно, что преобразованная эмпирическая функция распределения полученной последовательности практически не имеет отклонений от теоретической линейной зависимости. На рис. 2 показана оценка спектральной плотности

последовательности, моделирующей белый шум при частоте дискретизации $f_d = 100$ МГц. Видно, что спектральная плотность шума в среднем равномерна в области частот $[0, f_d/2] = [0, 50$ МГц] и её среднее значение $0,02$ В²/МГц совпадает с теоретическим значением $G_0 = \frac{\sigma^2}{f_d/2} = \frac{1 \text{ В}^2}{100 \text{ МГц}/2} = 0,02$ В²/МГц, если считать, что $\sigma = 1$ В.

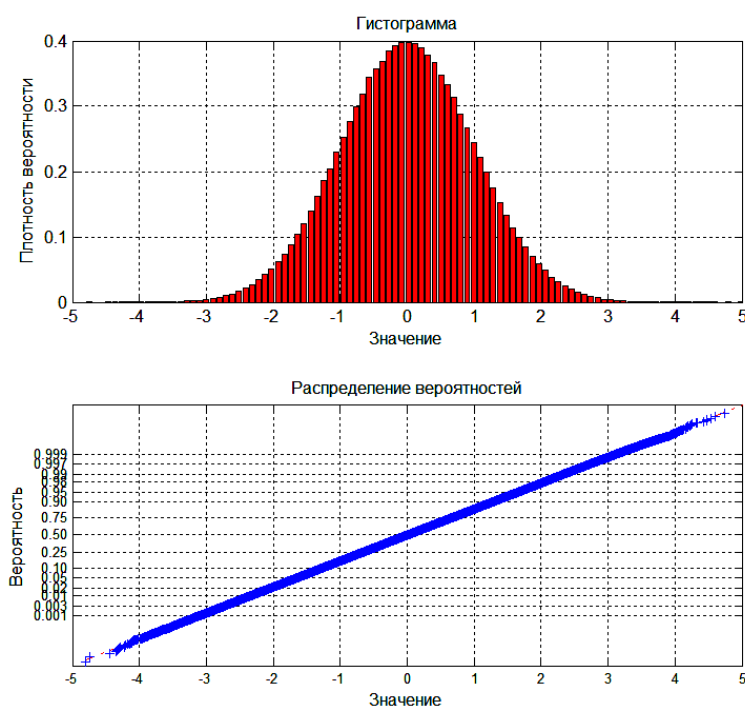


Рис. 1. Гистограмма и эмпирическое распределение вероятностей последовательности псевдослучайных чисел

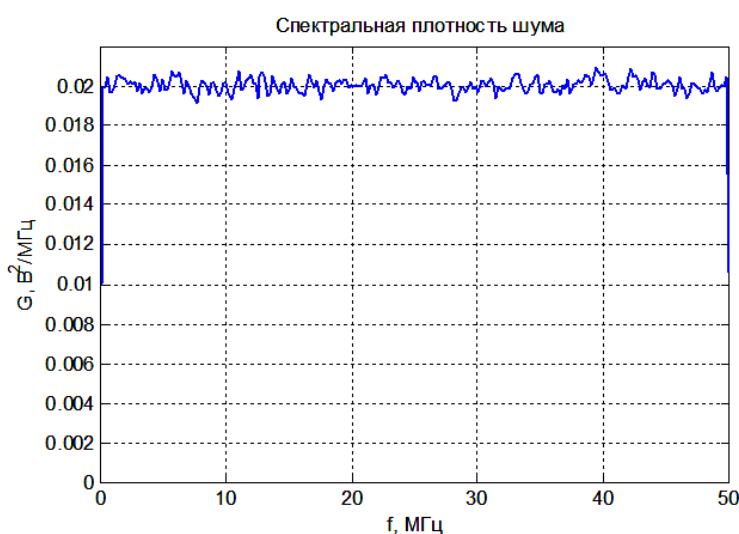


Рис. 2. Оценка спектральной плотности последовательности псевдослучайных чисел

2. Модель широкополосной шумовой помехи

Для адекватного моделирования широкополосной в пространственно-временном смысле шумовой помехи необходимо помимо фазового сдвига учитывать также различную задержку комплексной огибающей в антенно-приёмных каналах, обусловленную разностью хода волны. Шумовая помеха моделируется на промежуточной частоте $f_{\text{пр}}$ как последовательность отсчётов квазигармонического нормального случайного процесса с прямоугольным спектром, взятых с интервалом $\Delta t_{\text{д}} = \frac{1}{f_{\text{д}}}$. При этом в n -м антенно-приёмном канале фазовый сдвиг ψ_n колебания помехи на частоте несущей f_0 и задержка τ_n её комплексной огибающей моделируются отдельно, т.е. отсчёты помехи вычисляются в соответствии с выражением

$$u_n(k) = \text{Re}\left\{\dot{U}_{n\tau}(k)e^{j(2\pi f_{\text{пр}} \cdot k \Delta t_{\text{д}} + \psi_n)}\right\}, \quad k = 0, 1, 2, \dots \quad (1)$$

где n – номер антенно-приёмного канала; $\dot{U}_{n\tau}(k) = \dot{U}(t - \tau_n)|_{t=k \Delta t_{\text{д}}}$ – k -й отсчёт задержанной на время τ_n комплексной огибающей $\dot{U}(t)$. Задержанная комплексная огибающая моделируется на основе преобразования её комплексного спектра.

В качестве примера в статье рассматриваются характеристики шумовой помехи в каналах и на выходе АПФ с плоской антенной решёткой (АР), состоящей из 37 изотропных элементов, расположенных в узлах треугольной сетки. Система координат, связанная с АР, изображена на рис. 3. Здесь θ – угол между радиус-вектором направления наблюдения \mathbf{r} и осью z (зенитный угол), φ – угол между проекцией радиус-вектора на горизонтальную плоскость и осью x (азимут). На рис. 4 показана геометрия АР. Величина шага АР $d = \frac{\lambda}{\sqrt{3}}$, где λ – длина волны, задана исходя из условия отсутствия побочных дифракционных максимумов ДН при любых углах сканирования [10, п. 3.3.1]. В модели задано $\lambda = 30$ см. В этом случае $d = 17,3$ см.

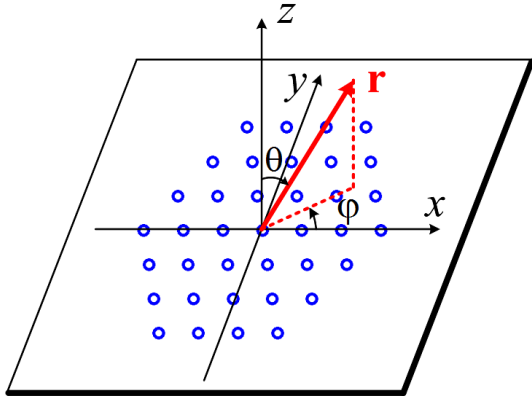


Рис. 3. Система координат

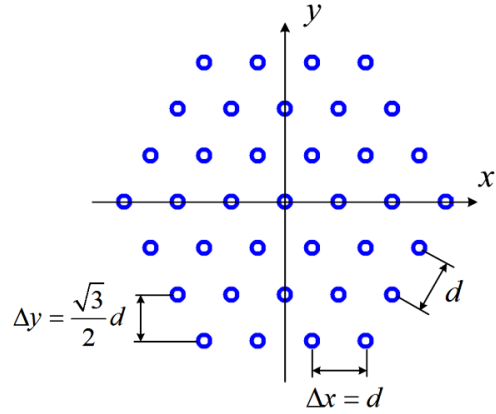


Рис. 4. Геометрия АР

В n -м антенно-приёмном канале фаза принимаемого колебания помехи равна

$$\psi_n = \kappa \Delta l_n, \quad (2)$$

где $\kappa = \frac{2\pi}{\lambda}$ – волновое число; $\Delta l_n = \mathbf{r} \cdot \mathbf{r}_n$ – разность хода волны относительно начала координат; \mathbf{r} – радиус-вектор источника помехи; \mathbf{r}_n – радиус-вектор n -го антенного элемента. Для плоской АР

$$\Delta l_n = \mathbf{r} \cdot \mathbf{r}_n = u x_n + v y_n, \quad (3)$$

где x_n, y_n – координаты n -го антенного элемента; u, v – обобщённые угловые координаты источника помехи, связанные с углами θ, φ сферической системы координат соотношениями

$$u = \sin \theta \cos \varphi, \quad (4)$$

$$v = \sin \theta \sin \varphi. \quad (5)$$

Задержка комплексной огибающей помехи на время распространения равна

$$\tau_n = -\frac{\Delta l_n}{c}, \quad (6)$$

где c – скорость распространения электромагнитной волны.

Данный способ моделирования основан на том, что спектр задержанного на время τ аналогового сигнала $s_\tau(t) = s(t - \tau)$ равен

$$\dot{S}_\tau(j\omega) = \mathcal{F}\{s(t - \tau)\} = \dot{S}(j\omega)e^{-j\omega\tau},$$

где $\dot{S}(j\omega) = \mathcal{F}\{s(t)\}$ – спектр сигнала; $\mathcal{F}\{\cdot\}$ – символ оператора преобразования Фурье. Следовательно, задержанный сигнал равен

$$s(t - \tau) = \mathcal{F}^{-1}\{\dot{S}_\tau(j\omega)\} = \mathcal{F}^{-1}\{\dot{S}(j\omega)e^{-j\omega\tau}\},$$

где $\mathcal{F}^{-1}\{\cdot\}$ – символ оператора обратного преобразования Фурье.

Аналогичные соотношения имеют место и для цифровых сигналов. В этом случае дискретное преобразование Фурье (ДПФ) сигнала $s_\tau(k)$, полученного дискретизацией задержанного сигнала $s_\tau(t)$, равно

$$\dot{S}_\tau(m) = \mathbb{F}\{s_\tau(k)\} = \dot{S}(m)e^{-j2\pi f(m)\tau}, \quad (7)$$

где $\mathbb{F}\{\cdot\}$ – символ оператора ДПФ; $\dot{S}(m) = \mathbb{F}\{s(k)\}$ – дискретный спектр цифрового сигнала; $f(m)$ – отсчёты частоты, равные

$$f(m) = \begin{cases} m \Delta f & \text{при } m = \overline{0, N_{FFT}/2} \\ -(N_{FFT} - m)\Delta f & \text{при } m = \overline{N_{FFT}/2 + 1, N_{FFT} - 1} \end{cases}; \quad (8)$$

$\Delta f = \frac{f_d}{N_{FFT}}$ – дискрет частоты; N_{FFT} – количество отсчётов сигнала и его спектра.

Дискретное преобразование Фурье определяется как

$$\mathbb{F}\{s(k)\} = \frac{1}{N_{FFT}} \sum_{k=0}^{N_{FFT}-1} s(k) \exp\left(-j \frac{2\pi}{N_{FFT}} k m\right). \quad (9)$$

Следовательно, отсчёты задержанного сигнала определяются выражением

$$s_\tau(k) = \mathbb{F}^{-1}\{\dot{S}_\tau(m)\} = \mathbb{F}^{-1}\{\dot{S}(m)e^{-j2\pi f(m)\tau}\}, \quad (10)$$

где $\mathbb{F}^{-1}\{\cdot\}$ – символ оператора обратного ДПФ, которое определяется как

$$\mathbb{F}^{-1}\{\dot{S}(m)\} = \sum_{m=0}^{N_{FFT}-1} \dot{S}(m) \exp\left(j \frac{2\pi}{N_{FFT}} k m\right). \quad (11)$$

В приведённых выражениях количество отсчётов N_{FFT} (объём преобразования Фурье) принимается одинаковым для сигнала и спектра, поскольку ДПФ вычисляется с помощью алгоритма быстрого преобразования Фурье (БПФ). Для устранения выбросов на концах реализации помехи, возникающих при обратном БПФ из-за эффекта Гиббса, выполняется умножение заданного числа k_w отсчётов в начале и в конце последовательности отсчётов помехи на сглаживающую функцию. Для сглаживания начальных отсчётов эта функция определяется как

$$w_{\text{нач}}(k) = \frac{1}{2} \left[1 - \cos\left(\pi \frac{k}{k_w}\right) \right], \quad k = 0, 1, \dots, (k_w - 1), \quad (12)$$

а для сглаживания конечных отсчётов – как

$$w_{\text{кон}}(k) = w_{\text{нач}}(k_w - 1 - k), \quad k = 0, 1, \dots, (k_w - 1). \quad (13)$$

Графики функций $w_{\text{нач}}(k)$ и $w_{\text{кон}}(k)$ при $k_w = 100$ показаны на рис. 5.

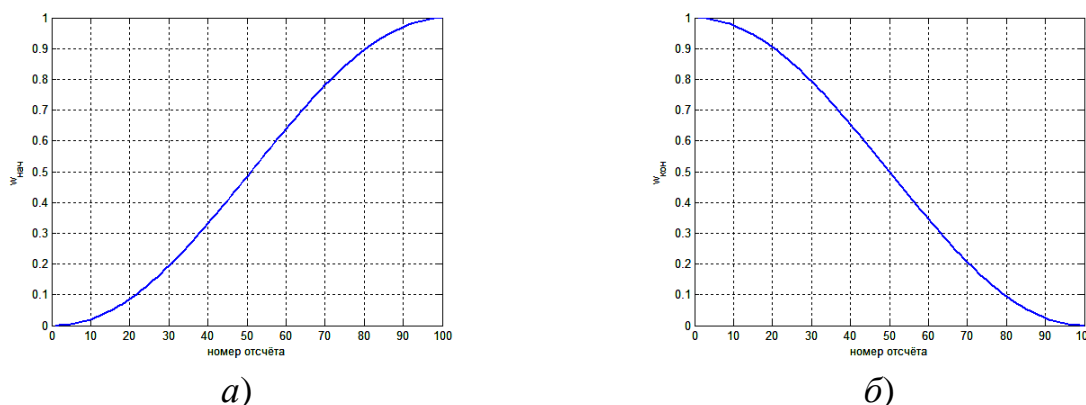


Рис.5. Сглаживающие функции: а) $w_{\text{нач}}(k)$; б) $w_{\text{кон}}(k)$

Умножение отсчётов помехи на сглаживающую функцию производится в соответствии со следующими выражениями:

$$s_{\tau \text{ сгл}}(k) = s_{\tau}(k)w_{\text{нач}}(k) \quad \text{при } k = 0, 1, \dots, (k_w - 1), \quad (14)$$

$$s_{\tau \text{ сгл}}(k) = s_{\tau}(k)w_{\text{кон}}(k - N_{\text{FFT}} + k_w) \quad (15)$$

при $k = (N_{\text{FFT}} - k_w), (N_{\text{FFT}} - k_w + 1), \dots, (N_{\text{FFT}} - 1)$.

Далее описаны основные этапы моделирования широкополосной шумовой помехи и приведены соответствующие фрагменты программы `jammer_delay.m` на языке системы MATLAB. Полный листинг программы приведён в Приложении.

1) Формирование массива отсчётов спектра комплексной огибающей помехи без задержки и фазового сдвига

Моделирование шумовой помехи, имеющей равномерный энергетический спектр в заданной полосе частот $B_{\text{п}}$, основано на том, что энергетический спектр её комплексной огибающей имеет прямоугольную форму в области частот $[-B_{\text{п}}/2, B_{\text{п}}/2]$. При этом действительная и мнимая части комплексного спектра помехи имеют нормальное распределение вероятностей и статистически независимы. Следовательно, отсчёты ДПФ комплексной огибающей помехи, соответствующие частотам $0, \Delta f, 2\Delta f, \dots, n_{\text{п}} \Delta f$ и

$f_d - n_{\pi} \Delta f, f_d - (n_{\pi} - 1) \Delta f, \dots, f_d - \Delta f$, являются комплексными нормально распределёнными независимыми случайными величинами с одинаковой дисперсией. Здесь $n_{\pi} = \left[\frac{B_{\pi}/2}{\Delta f} + \frac{1}{2} \right]$ – номер отсчёта спектра, наиболее близкого по частоте к половине ширины спектра помехи $B_{\pi}/2$; $[\cdot]$ – символ операции взятия целой части числа. Остальные отсчёты спектра комплексной огибающей равны 0, общее количество отсчётов равно N_{FFT} . В MATLAB-программе отсчёты действительной и мнимой частей спектра \mathbf{S} комплексной огибающей помехи при нулевой задержке формируются с помощью генератора нормальных случайных чисел `randn` [11]:

```
n_B=round( (B/2)/df); % Номер отсчёта частоты,
% соответствующего 1/2 ширины спектра помехи
S=zeros(1,NFFT); % Начальное обнуление массива отсчётов
% спектра помехи
% Формирование массива отсчётов спектра
% комплексной огибающей помехи без задержки:
% 1) для частот [0, B/2]
S(1:n_B+1)=randn(1,n_B+1)+1i*randn(1,n_B+1);
% 2) для частот [fs-B/2, fs-df]
S(NFFT-n_B+1:NFFT)=randn(1,n_B)+1i*randn(1,n_B);
```

2) Формирование массива отсчётов частоты и массивов отсчётов сглаживающих функций

2.1) По формуле (8) рассчитывается массив отсчётов частоты:

```
f=zeros(1,NFFT); % Начальное обнуление массива
% отсчётов частоты
for m=0:(NFFT/2)
    f(m+1)=m*df; % Отсчёты частоты в интервале [0, fs/2]
end
for m=(NFFT/2+1):(NFFT-1)
    f(m+1)=-(NFFT-m)*df; % Отсчёты частоты
% в интервале [fs/2, fs-df]
end
```

2.2) В соответствии с формулами (12), (13) вычисляются массивы отсчётов сглаживающих функций $w_{\text{нач}}(k)$ и $w_{\text{кон}}(k)$:

```
k_w=100; % Количество сглаживаемых отсчётов
w1=zeros(1,k_w); % Начальное обнуление массива w1
for k=0:k_w-1
```

```

w1(k+1)=(1-cos(pi*k/k_w))/2; % Отсчёты функции w_нач
% для сглаживания в начале реализации
end
w2=zeros(1,k_w); % Начальное обнуление массива w2
for k=0:k_w-1
    w2(k+1)=w1(k_w-k); % Отсчёты функции w_кон
    % для сглаживания в конце реализации
end

```

Далее для каждого антенно-приёмного канала выполняются следующие вычисления.

3) *Формирование массива отсчётов спектра комплексной огибающей помехи с учётом задержки*

3.1) По формуле (3) вычисляется разность хода помехи относительно начала координат:

$$\text{delta_l}=\text{r_elem}(n,:)*\text{r.}';$$

3.2) По формуле (6) вычисляется задержка комплексной огибающей:

$$\text{tau}=-\text{delta_l}/\text{c};$$

3.3) В соответствии с (7) формируется массив отсчётов спектра комплексной огибающей помехи с учётом задержки:

$$\text{S_delay}=\text{S}.*\text{exp}(-\text{li}*2*\text{pi}*f*\text{tau});$$

4) *Формирование массива отсчётов комплексного аналитического сигнала помехи на промежуточной частоте с учётом задержки и фазового сдвига*

4.1) С помощью обратного БПФ (11) вычисляется комплексная огибающая помехи с задержкой:

$$\text{U_delay}=\text{ifft}(\text{S_delay}, \text{NFFT});$$

4.2) По формуле (2) вычисляется фазовый сдвиг на частоте несущей:

$$\text{psi}=\text{k_wave}*\text{delta_l};$$

4.3) Вычисляются отсчёты комплексного аналитического сигнала помехи на промежуточной частоте с фазовым сдвигом ψ_n :

$$\text{u_delay_complex}=\text{U_delay}.*\text{exp}(\text{li}*(2*\text{pi}*f_inter*t+\text{psi}));$$

5) *Формирование массива отсчётов сигнала помехи с учётом задержки и фазового сдвига*

5.1) Вычисляются вещественные отсчёты помехи:

$$\text{u_jammer}=\text{real}(\text{u_delay_complex});$$

5.2) В соответствии с (14), (15) выполняется умножение заданного числа k_w отсчётов в начале и в конце массива отсчётов помехи на сглаживающую функцию:

```
for k=0:(k_w-1)
    u_jammer(k+1)=w1(k+1)*u_jammer(k+1); % Умножение
% k_w начальных отсчётов на сглаживающую функцию w1
end
for k=(L-k_w):(L-1)
    u_jammer(k+1)=w2(k-L+k_w+1)*u_jammer(k+1); %Умножение
% k_w конечных отсчётов на сглаживающую функцию w2
end
```

5.3) Вычисляется СКО отсчётов помехи и производится нормировка для получения реализации с СКО равным 1; полученные отсчёты записываются в двумерный массив Y_jammer :

```
sigma_u_jammer=std(u_jammer);
Y_jammer(n,:)=u_jammer/sigma_u_jammer;
```

Для правильного моделирования помехи в соответствии с приведённым алгоритмом спектр помехи должен полностью помещаться либо в левой половине интервала частот $[0, f_d]$, либо в правой половине, т.е. ширина спектра $B_{п}$, промежуточная частота $f_{пр}$ и частота дискретизации f_d должны удовлетворять следующим условиям:

при $f_{пр} < \frac{f_d}{2}$	при $f_{пр} > \frac{f_d}{2}$
$\begin{cases} f_{пр} + \frac{B_{п}}{2} \leq \frac{f_d}{2} \\ f_{пр} - \frac{B_{п}}{2} \geq 0 \end{cases}$	$\begin{cases} f_{пр} + \frac{B_{п}}{2} \leq f_d \\ f_{пр} - \frac{B_{п}}{2} \geq \frac{f_d}{2} \end{cases}$

3. Тестирование модели широкополосной шумовой помехи

Для проверки адекватности модели шумовой помехи были получены следующие тестовые результаты.

3.1 Амплитудный спектр, автокорреляционная и взаимно-корреляционная функции

Для помехи с шириной спектра $B_{\text{п}} = 20$ МГц и промежуточной частотой $f_{\text{пр}} = 25$ МГц были вычислены амплитудный спектр и оценка автокорреляционной функции (АКФ) в одном из приёмных каналов, а также оценка взаимно-корреляционной функции (ВКФ) сигнала помехи в двух приёмных каналах при межканальной задержке 0,05 мкс. Результаты моделирования приведены на рис. 6 - 8. На рис. 6 показан амплитудный спектр помехи в интервале частот от 0 до $f_{\text{д}} = 100$ МГц. Он имеет составляющие шириной 20 МГц на частотах $f_{\text{пр}} = 25$ МГц и $f_{\text{д}} - f_{\text{пр}} = 75$ МГц, что соответствует заданным параметрам.

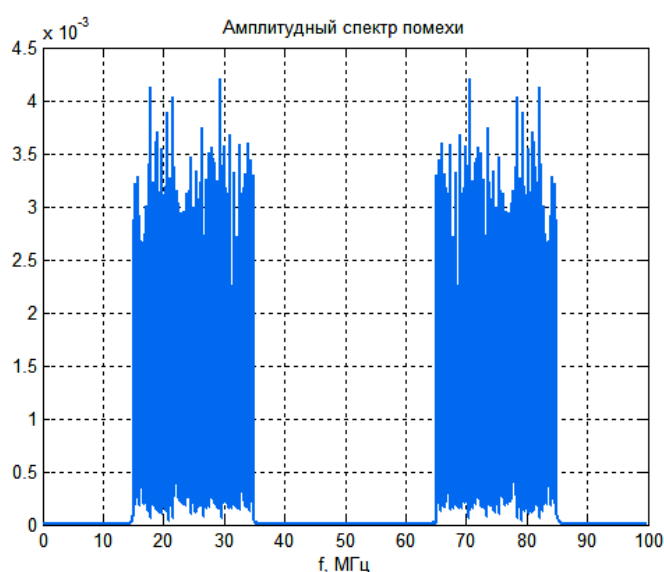


Рис. 6. Амплитудный спектр шумовой помехи

На рис. 7 показаны графики оценок нормированных АКФ и ВКФ, красным цветом изображены их огибающие. Видно, что форма огибающей соответствует выражению для модуля $|\rho(\tau)|$ нормированной АКФ низкочастотного шума с прямоугольным спектром шириной $B_{\text{п}}$, которая определяется выражением [12, п. 3.2]

$$\rho(\tau) = \frac{\sin(\pi\tau B_{\text{п}})}{\pi\tau B_{\text{п}}}. \quad (16)$$

Нули главного максимума огибающей АКФ равны $\tau_0 = \pm 0,05$ мкс, что соответствует теоретическим значениям $\pm \frac{1}{B_{\text{п}}} = \pm \frac{1}{20 \text{ МГц}} = \pm 0,05$ мкс. Сдвиг максимума ВКФ равен заданному значению задержки 0,05 мкс.

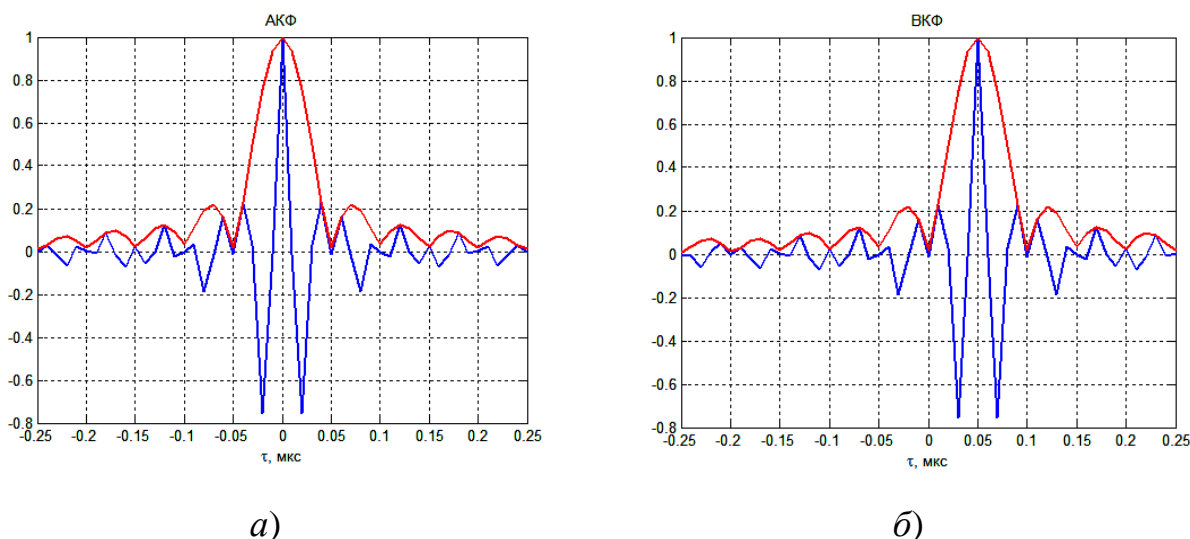


Рис. 7. Автокорреляционная (а) и взаимно-корреляционная (б) функция шумовой помехи с прямоугольным спектром

3.2 Амплитудный спектр комплексной огибающей помехи

Для помехи с шириной спектра $B_{\Pi} = 20$ МГц с угловыми координатами $\theta_{\Pi} = 45^{\circ}$, $\varphi_{\Pi} = 0$ был получен амплитудный спектр комплексной огибающей помехи в одном приёмном канале и на выходе АПФ.

Комплексная огибающая колебания на выходе АПФ определяется выражением [1]

$$\dot{Y}(k) = \mathbf{W}^H \mathbf{U}(k), \quad (17)$$

где $\mathbf{U}(k)$ – вектор отсчётов комплексных огибающих помехи в приёмных каналах; \mathbf{W} – вектор весовых коэффициентов АПФ; h – символ эрмитова сопряжения.

Вектор весовых коэффициентов вычисляется в соответствии с регуляризованным прямым алгоритмом адаптации как решение матричного уравнения Винера-Хопфа [1]:

$$\hat{\mathbf{R}}_{\text{рег}} \mathbf{W} = \mathbf{S}_0, \quad (18)$$

где $\hat{\mathbf{R}}_{\text{рег}}$ – регуляризованная оценка оценки корреляционной матрицы комплексных огибающих помехи; $\mathbf{S}_0 = (1, \dots, 1)^T$ – направляющий вектор, определяющий положение максимума диаграммы направленности АПФ при отсутствии помехи. В алгоритме адаптации регуляризация оценки корреляционной матрицы производится в соответствии с выражением

$$\hat{\mathbf{R}}_{\text{рег}} = \hat{\mathbf{R}} + \mu \left(\frac{1}{N} \sum_{n=1}^N \hat{R}_{nn} \right) \mathbf{I}, \quad (19)$$

где $\hat{\mathbf{R}} = \frac{1}{K} \sum_{k=1}^K \mathbf{U}(k)\mathbf{U}(k)^H$ – выборочная корреляционная матрица комплексных огибающих помехи; K – количество отсчётов; μ – нормированный параметр регуляризации; N – количество антенно-приёмных каналов; \mathbf{I} – единичная матрица. В модели было задано $K = 1024$, $\mu = 10^{-4}$.

На рис. 8а показан амплитудный спектр комплексной огибающей помехи в одном приёмном канале. Видно, что он ограничен по частоте значениями $-B_{\text{п}}/2 = -10$ МГц и $B_{\text{п}}/2 = 10$ МГц, что соответствует заданной ширине спектра помехи 20 МГц. На рис. 8б показан амплитудный спектр комплексной огибающей помехи на выходе АПФ. Видно, что он также ограничен по частоте значениями $-B_{\text{п}}/2$ и $B_{\text{п}}/2$ и имеет два симметрично расположенных провала.

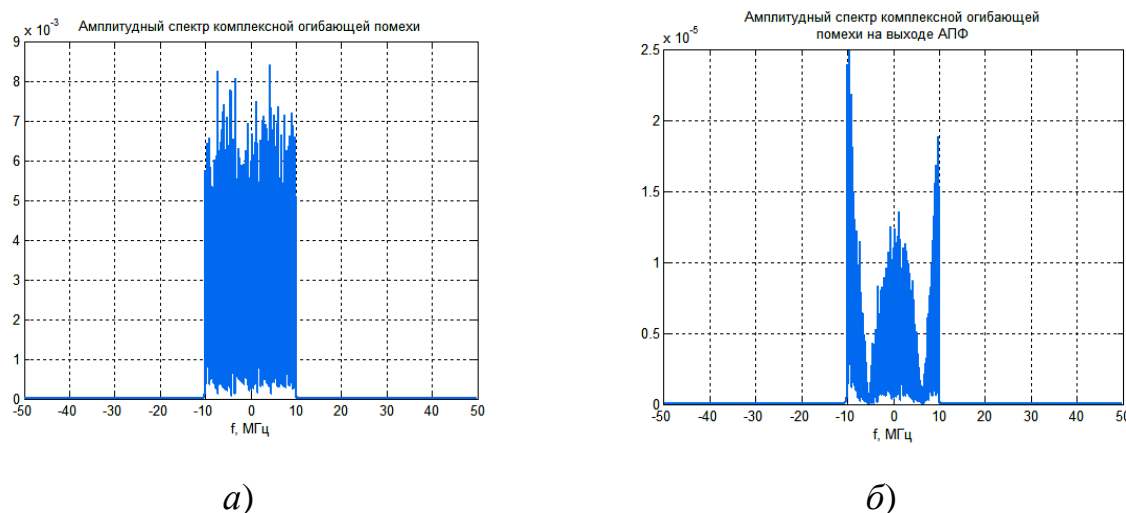


Рис. 8. Спектр комплексной огибающей помехи в одном приёмном канале (а) и на выходе АПФ (б)

Такая форма спектра обусловлена тем, что при воздействии широкополосной помехи происходит частичная декорреляция комплексной огибающей в различных антенно-приёмных каналах. В этом случае полное подавление помехи путём суммирования комплексных огибающих, умноженных на весовые коэффициенты, становится принципиально невозможным. Ослабление помехи обеспечивается за счёт того, что в диаграмме направленности АПФ в направлении на помеху формируется не один ноль, как при действии узкополосной помехи, а несколько близко расположенных нулей.

В данном случае образуются два нуля (рис. 9). В соответствии с этим амплитудно-частотная характеристика (АЧХ) АПФ в направлении на помеху также имеет два нуля, расположенных симметрично вблизи границ спектра помехи (рис. 10). Благодаря этому в АЧХ формируется расширенная зона режекции, что обеспечивает подавление помехи в широкой полосе частот.

Следует отметить, что при моделировании помехи как узкополосного в пространственно-временном смысле колебания эти эффекты на модели АПФ не воспроизводятся.

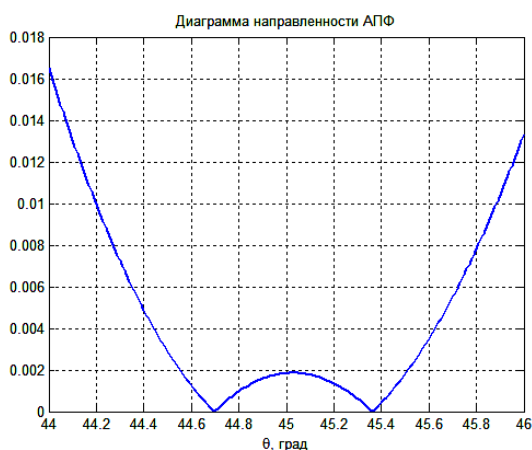


Рис. 9. Диаграмма направленности АПФ

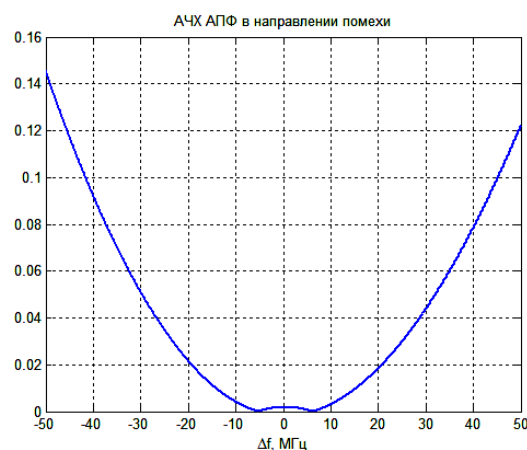


Рис. 10. АЧХ АПФ в направлении помехи

4. Характеристики пространственного фильтра при оптимальных и адаптивных весовых коэффициентах

Для проверки адекватности модели широкополосной шумовой помехи было также проведено сравнение АЧХ АПФ в направлении помехи в двух случаях:

- при оптимальных весовых коэффициентах АПФ, вычисленных с использованием рассчитанной теоретически корреляционной матрицы помехи;
- при адаптивных весовых коэффициентах, вычисленных с использованием оценки корреляционной матрицы по отсчётам принимаемых колебаний.

В обоих случаях производилась регуляризация корреляционной матрицы в соответствии с (19).

Корреляционная матрица комплексных огибающих помехи с учётом задержек равна [1, 4]

$$\mathbf{R} = P_{\Pi}(\mathbf{S}_{\Pi}\mathbf{S}_{\Pi}^H)\odot\boldsymbol{\rho}, \quad (20)$$

где P_{Π} – дисперсия комплексной огибающей помехи; \mathbf{S}_{Π} – направляющий вектор помехи; \odot – символ операции поэлементного умножения матриц (произведения Адамара); $\boldsymbol{\rho}$ – матрица, элементы которой равны $\rho_{mn} = \rho(\tau_m - \tau_n)$; $\rho(\tau)$ – нормированная АКФ комплексной огибающей помехи, определяемая в случае прямоугольного спектра выражением (16); τ_m, τ_n – значения задержки помехи в m -м и n -м приёмных каналах.

На рис. 11 синим цветом показана АЧХ адаптивного пространственного фильтра в направлении помехи, а красным цветом – АЧХ оптимального пространственного фильтра. Видно, что эти характеристики совпадают, что подтверждает правильность моделирования широкополосной помехи.

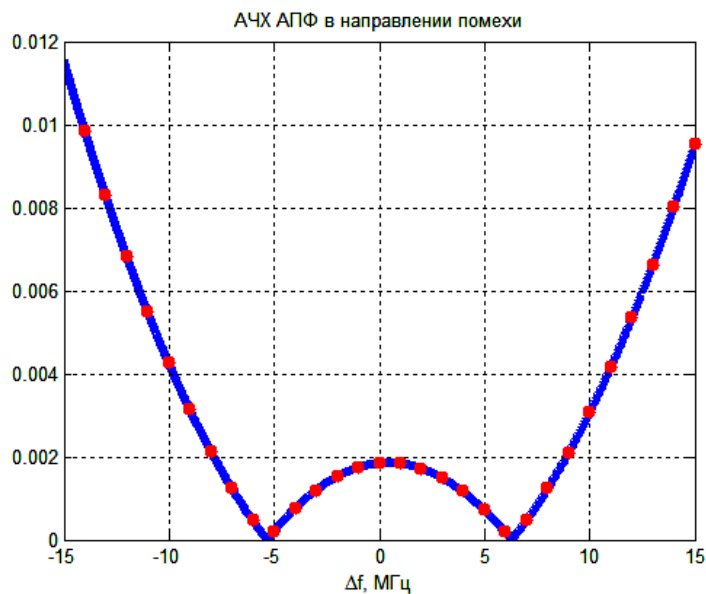


Рис. 11. АЧХ АПФ в направлении помехи при адаптивных (синяя линия) и оптимальных (красные точки) весовых коэффициентах

Приложение

Функция моделирования шумовой помехи с задержкой `jammer_delay.m`

```
%
% Модель шумовой помехи с задержкой
% Ширина спектра помехи В должна удовлетворять следующим условиям:
% 1) если f_inter > fs/2, т.е. спектр находится на правой
% половине интервала частот, то
% f_inter + B/2 <= fs и f_inter - B/2 >= fs/2
```

```

% 2) если  $f\_inter < fs/2$ , т.е. спектр находится на левой
% половине интервала частот, то
%  $f\_inter + B/2 \leq fs/2$  и  $f\_inter - B/2 \geq 0$ 

function Y_jammer=jammer_delay(f_inter,B,fs,r,N,r_elem,lambda,L)
% f_inter - промежуточная частота (Гц)
% B - ширина спектра помехи (Гц)
% fs - частота дискретизации (Гц)
% r - единичный радиус-вектор помехи
% N - количество антенных элементов
% r_elem - массив радиус-векторов антенных элементов (м)
% lambda - длина волны (м)
% L - количество отсчётов помехи

c=2.99792458e8; % Скорость распространения э/м волны (м/с)
k_wave=2*pi/lambda; % Волновое число (1/м)
NFFT=L; % Объём ДПФ
df=fs/NFFT; % Дискрет частоты (Гц)
dt=1/fs; % Интервал дискретизации (с)
t=(0:NFFT-1)*dt; % Массив отсчётов времени (с)

%% Формирование спектра комплексной огибающей помехи
% без задержки и фазового сдвига:
n_B=round((B/2)/df); % Номер отсчёта частоты,
% соответствующего 1/2 ширины спектра помехи
S=zeros(1,NFFT); % Начальное обнуление массива
% отсчётов спектра помехи
% Формирование массива отсчётов спектра
% комплексной огибающей помехи без задержки:
% 1) для частот [0, B/2]
S(1:n_B+1)=randn(1,n_B+1)+1i*randn(1,n_B+1);
% 2) для частот [fs-B/2, fs-df]
S(NFFT-n_B+1:NFFT)=randn(1,n_B)+1i*randn(1,n_B);

%% Формирование массива отсчётов частоты
% и массивов отсчётов сглаживающих функций
% Массив отсчётов частоты:
f=zeros(1,NFFT); % Начальное обнуление массива
% отсчётов частоты
for m=0:(NFFT/2)
    f(m+1)=m*df; % Отсчёты частоты в интервале [0, fs/2]
end
for m=(NFFT/2+1):(NFFT-1)
    f(m+1)=-(NFFT-m)*df; % Отсчёты частоты
% в интервале [fs/2, fs-df]
end

```

```

% Массивы отсчётов сглаживающих функций:
k_w=100; % Количество сглаживаемых отсчётов
% в начале и в конце реализации
w1=zeros(1,k_w); % Начальное обнуление массива w1
for k=0:k_w-1
    w1(k+1)=(1-cos(pi*k/k_w))/2; % Отсчёты функции
% для сглаживания в начале
end
w2=zeros(1,k_w); % Начальное обнуление массива w2
for k=0:k_w-1
    w2(k+1)=w1(k_w-k); % Отсчёты функции
% для сглаживания в конце
end

%% Формирование массива отсчётов помехи
Y_jammer=zeros(N,L); % Начальное обнуление
% (N x L)-матрицы отсчётов помехи
% Цикл по номерам приёмных каналов:
for n=1:N
    delta_l=r_elem(n,:)*r.'; % Разность хода волны
    % для n-го канала (м)
    tau=-(delta_l/c); % Задержка (с)
    S_delay=S.*exp(-1i*2*pi*f*tau); % Спектр комплексной
% огибающей помехи с задержкой
    U_delay=ifft(S_delay, NFFT); % Комплексная огибающая
% помехи с задержкой
    psi=k_wave*delta_l; % Фазовый сдвиг (рад)
% Перенос комплексной огибающей на промежуточную
% частоту и фазовый сдвиг:
    u_delay_complex=U_delay.*exp(1i*(2*pi*f_inter*t+psi));
    % Вычисление вещественных отсчётов помехи:
    u_jammer=real(u_delay_complex);

    % Сглаживание в начале и в конце реализации помехи:
    for k=0:(k_w-1)
        u_jammer(k+1)=w1(k+1)*u_jammer(k+1); % Умножение
% k_w начальных отсчётов на сглаживающую функцию w1
    end
    for k=(L-k_w):(L-1)
% Умножение k_w конечных отсчётов на сглаживающую функцию w2:
        u_jammer(k+1)=w2(k-L+k_w+1)*u_jammer(k+1);
    end

% Нормировка реализации помехи на СКО
% и формирование (N x L)-матрицы отсчётов:

```

```
sigma_u_jammer=std(u_jammer);  
Y_jammer(n,:)=u_jammer/sigma_u_jammer;  
end
```

Заключение

Разработана имитационная модель широкополосной шумовой помехи в антенно-приёмных каналах адаптивного пространственного фильтра с учётом задержек комплексной огибающей на апертуре антенной системы, позволяющая воспроизводить такие эффекты как формирование нескольких нулей в амплитудно-частотной характеристике и диаграмме направленности АПФ. В работе приведено подробное описание математической модели и программа на языке системы MATLAB. В качестве модели гауссова белого шума, на основе которой моделируется широкополосная шумовая помеха, используется последовательность псевдослучайных чисел с нормальным распределением вероятностей, формируемая функцией **randn** системы MATLAB. На основе оценки статистических характеристик данной последовательности показана высокая степень соответствия характеристикам белого шума.

Для проверки адекватности модели шумовой помехи с прямоугольным спектром получены оценки спектра комплексной огибающей помехи в приёмных каналах и на выходе АПФ при оптимальных и адаптивных весовых коэффициентах, а также диаграмма направленности в окрестности направления на источник помехи и амплитудно-частотная характеристика АПФ. Совпадение полученных результатов при оптимальных и адаптивных весовых коэффициентах подтверждает правильность моделирования широкополосной шумовой помехи с учётом задержек комплексной огибающей.

Имитационная модель может быть использована для оценки характеристик систем адаптивной пространственной фильтрации, а также угловой пеленгации в условиях воздействия широкополосных в пространственно-временном смысле колебаний.

Литература

1. Ратынский М.В. *Адаптация и сверхразрешение в антенных решётках*. Москва, Радио и связь. 2003. 200 с.
2. Foutz J., Spanias A., Banavar M.K. Narrowband direction of arrival estimation for antenna arrays. Springer. 2008. *Synthesis lectures on antennas. Lecture #8*. <https://doi.org/10.2200/S00118ED1V01Y200805ANT008>
3. Godara L., Jahromi S. Limitations and capabilities of frequency domain broadband constrained beamforming schemes. *IEEE Transactions on Signal Processing*. 1999. V.47. №9. P.2186-2195.
4. Li H., Zhang X., He Z., Yu J. A wideband digital beamforming method based on stretch processing. *WSEAS Transactions on Signal Processing*. 2009. V.5. №7. P.251-260.
5. Chern Sh.J., Sung Ch.Y. The hybrid Frost's beamforming algorithm for multiple jammers suppression. *Signal Processing*. 1995. V.43. P.113-132.
6. Agrawal M., Prasad S. DOA estimation of wideband sources using a harmonic source model and uniform linear array. *IEEE Transactions on Signal Processing*. 1999. V.47. №3. P.619-629.
7. Amirsoleimani S., Olfat A. Wideband modal orthogonality: A new approach for broadband DOA estimation. *Arxiv*. <https://doi.org/10.48550/arXiv.2006.07261>
8. Marsaglia G., Tsang W.W. The ziggurat method for generating random variables. *Journal of Statistical Software*. 2000. V.5. №8. P.1-7. <https://doi.org/10.18637/jss.v005.i08>
9. Moler C. Numerical Computing with MATLAB. SIAM. 2004. Chapter 9 Random Numbers [web]. *Mathworks*. Date of access: 01.08.2022. URL: <https://www.mathworks.com/moler.html>
10. Амитей Н., Галиндо В., Ву Ч. *Теория и анализ фазированных антенных решёток*. Москва, Мир. 1974. 456 с.
11. Сергиенко А.Б. *Цифровая обработка сигналов: Учеб. пособие*. 3-е изд. Санкт-Петербург, БХВ-Петербург. 2011. 768 с.

12. Баскаков С.И. *Радиотехнические цепи и сигналы: Учеб. для вузов. 3-е изд., перераб. и доп.* Москва, Высшая школа. 2000. 462 с.

Для цитирования:

Лишак М.Ю. Моделирование широкополосной шумовой помехи в системах адаптивной пространственной фильтрации радиосигналов. *Журнал радиоэлектроники* [электронный журнал]. 2022. №11. <https://doi.org/10.30898/1684-1719.2022.11.2>